



УДК 539.17

М.А. Жусупов, Ш.Ш. Сагиндыков, С.К. Сахиев

Казахский национальный университет им. аль-Фараби, г. Алматы

Е.Т. Ибраева, А. Ю. Зайкин

Институт ядерной физики НЯЦ Республики Казахстан, г. Курчатов

**СТРУКТУРА НЕЙТРОНОИЗБЫТОЧНЫХ ИЗОТОПОВ ^8Li И ^9Li .
РАСЧЕТ ДИФФЕРЕНЦИАЛЬНОГО СЕЧЕНИЯ УПРУГОГО $p^8\text{Li}$ И $p^9\text{Li}$
РАССЕЯНИЯ В РАМКАХ ДИФРАКЦИОННОЙ ТЕОРИИ**

Проведен расчет волновых функций экзотических нейтроноизбыточных ядер ^8Li и ^9Li в рамках 2- и 3-частичных α -t-n, α -t-2n и ^7Li -n-n-моделей, что позволило рассчитать дифференциальные сечения упругого рассеяния протонов на этих ядрах при $E = 700$ и 60 МэВ/нуклон. Расчет сечений проведен в рамках дифракционной теории Глаубера. Сравнение с имеющимися экспериментальными данными позволило сделать выводы о качестве волновых функций и потенциалов, в которых они рассчитаны.

Протон-ядерное рассеяние, являясь проверенным методом изучения плотности ядерной материи стабильных ядер, в настоящее время применяется и для экзотических нестабильных ядер. Эксперименты выполняются в инверсной кинематике, когда на покоящуюся водородную мишень направляется пучок радиоактивных ядер, полученный в ускорителе в результате ядерных реакций и их вторичного ускорения. В этих экспериментах был получен самый значительный результат ядерной физики последних десятилетий: открыт качественно новый тип ядерной структуры – гало [1]. Однако не все нейтроноизбыточные ядра имеют галоструктуру. Некоторые (и к ним принадлежат ^8Li , ^9Li), не обладая протяженным нейтронным распределением (и вследствие этого аномально большим радиусом), имеют лишь избыток нейтронов в поверхностной области; такая структура получила название «шубы». Самые последние экспериментальные данные по измерению дифференциальных сечений (ДС) $p^8\text{Li}$, $p^9\text{Li}$ упругого рассеяния, проведенные в лаборатории GSI в Darmstadt [2] при энергии 703 МэВ/нуклон, и выполненные ранее в ускорительной лаборатории RIKEN (Япония) [3] при энергии 60 МэВ/нуклон (для $p^9\text{Li}$), подтверждают наличие такой структуры. Из анализа полученных данных в рамках дифракционной глауберовской теории извлечена информация о распределении ядерной материи. Для этих ядер материальные распределения оказались подобны друг другу, а сравнение с ядром ^6Li показало, что радиусы всех трех ядер в пределах ошибок совпадают, что приводит к выводу о более плотной упаковке нуклонов в ^8Li и особенно в ^9Li . Привлечение данных о зарядовом (протонном) радиусе, полученных из независимых лазерно-спектрскопических экспериментов [4], позволило определить как нейтронный радиус, так и толщину нейтронной «шубы» $\delta_{np} = R_n - R_p$, которая оказалась равной 0,52 фм для ^8Li и 0,49 фм – для ^9Li и близкой к рассчитанной другими методами: стохастическим вариационным [5] и Монте Карло [6]. Однако, как отмечено в [7], изучение радиальной структуры из экспериментальных ДС несколько ограничено недостаточностью знаний полного механизма и дина-

ники реакций. Поэтому в настоящей работе мы постарались связать механизм взаимодействия, описываемый глауберовским оператором многократного рассеяния, со структурными особенностями изучаемых ядер (представленными различными модельными волновыми функциями ядер) и показать вклад тех и других в формирование ДС.

Рассмотрим структуру ядер ${}^8\text{Li}$, ${}^9\text{Li}$ в трехчастичных моделях.

Волновые функции (ВФ) ядер ${}^8\text{Li}$ и ${}^9\text{Li}$ рассчитаны в α - t - n - (${}^8\text{Li}$), α - t - $2n$ - и ${}^7\text{Li}$ - n -моделях (${}^9\text{Li}$). В трехчастичных моделях полная ВФ выражается в виде произведения внутренних ВФ кластеров ψ_1 , ψ_2 , ψ_3 (которые полагаются такими же, как ВФ свободных частиц: α , t , n , $2n$, ${}^7\text{Li}$ в соответствующих моделях) на ВФ их относительного движения Ψ^{JM_J} :

$$\Psi_{i,f}^{JM_j} = \Psi_1 \Psi_2 \Psi_3 \Psi^{JM_J}(\vec{r}, \vec{R}). \quad (1)$$

ВФ относительного движения зависит от координат Якоби \vec{r} и \vec{R} . Координата \vec{r} описывает относительное α - t - (в α - t - n - и α - t - $2n$ -моделях) и относительное n - n - (в ${}^7\text{Li}$ - n -модели) движение, ей сопряжен орбитальный момент λ ; координата \vec{R} описывает относительное движение между центрами масс α - t - (в α - t - n - и α - t - $2n$ -моделях) и n - n - (в ${}^7\text{Li}$ - n -модели) и оставшимся кластером (n , $2n$, ${}^7\text{Li}$), ей сопряжен орбитальный момент l . ВФ относительного движения удобно разложить в ряд по парциальным волнам

$$\Psi^{JM_J}(\vec{r}, \vec{R}) = \sum_{\lambda L S} \Psi_{\lambda L S}^{JM_J}(\vec{r}, \vec{R}). \quad (2)$$

Каждая парциальная функция факторизуется на радиальную и спин-угловую:

$$\Psi_{\lambda L S}^{JM_J}(\vec{r}, \vec{R}) = \Phi_{\lambda l}(\vec{r}, \vec{R}) F_{\lambda L S}^{JM_J}(\vec{r}, \vec{R}), \quad (3)$$

где

$$F_{\lambda L S}^{JM_J}\left(\vec{r}, \vec{R}\right) = \sum_{M_L M_S m} \langle \lambda \mu l m | L M_L \rangle \langle s_1 m_1 t_2 m_2 | S M_S \rangle \langle L M_L S M_S | J M_J \rangle Y_{\lambda \mu}(\vec{r}) {}_{lm}(\vec{R}) \chi_{S M_S}, \quad (4)$$

коэффициенты Клебша-Гордана определяют схему сложения моментов. $\Phi_{\lambda l}(\vec{r}, \vec{R})$ является решением радиального уравнения Шредингера с соответствующими парными потенциалами межкластерных взаимодействий, которая затем для удобства вычислений разлагается в ряд по гауссовому базису

$$\Phi_{\lambda l}(\vec{r}, \vec{R}) = r^\lambda R^l \sum_{ij} C_{ij}^{\lambda l} \exp(-\alpha_i r^2 - \beta_j R^2). \quad (5)$$

ВФ относительного движения ядра ${}^8\text{Li}$ рассчитана в двух моделях, отличающихся только выбором αt -потенциала, тогда как αn - и $t n$ -потенциалы для обеих моделей выбирались одинаковыми: гауссовскими, расщепленными по четности орбитального момента и хорошо воспроизводящими низкоэнергетические s -, p - и d -фазы [10]. Потенциал $V_{\alpha-t}$ в модели 1 выбран в форме Бака, с суперсимметричной отталкивающей частью на малых расстояниях, в модели 2 – в стандартной Вудс-Саксоновской форме. Оба потенциала воспроизводят энергию связи и спектроскопические характеристики ядра ${}^7\text{Li}$. ВФ, описывающая относительное движение α -частицы и тритона (по координате \vec{r}), имеет один узел (R_{3p}), ВФ относительного движения центра масс αt и n (по координате \vec{R}) – безузловая (R_{1p}). Обе ВФ неплохо воспроизводят низкоэнергетический спектр состояний и стати-

ческие характеристики ядра ${}^8\text{Li}$ [11]. Относительные веса конфигураций приведены в табл.1, из которой видно, что основной вклад в обеих моделях дает одна конфигурация с единичными орбитальными моментами и спином.

Радиальная часть ВФ основного состояния ${}^9\text{Li}$ рассчитана в α -t-2n- и ${}^7\text{Li}$ -n-n-моделях. Для α -t-2n-модели выбраны следующие потенциалы межкластерных взаимодействий: $V_{\alpha-t}$ – тот же, что для ${}^8\text{Li}$ в модели 1, $V_{\alpha-2n}$, V_{t-2n} – потенциалы с четно-нечетным расщеплением фазовых сдвигов, построенные на основе $V_{\alpha-n}$, V_{t-n} потенциалов. Для ${}^7\text{Li}$ -n-n-модели: $V_{{}^7\text{Li}-n}$ – глубокий притягивающий потенциал с запрещенными состояниями в форме Бака, V_{n-n} – потенциал Аfnана-Тана с отталкивающим кором, описывающий 3S_1 и 1S_0 фазы рассеяния от нуля до 300 МэВ.

Таблица 1

Веса разных конфигураций волновой функции ${}^9\text{Li}$

λ	l	L	S	P
α-t-n- модель 1				
1	1	1	1	0,964
α-t-n- модель 2				
1	1	1	1	0,956

Относительные веса конфигураций ядра ${}^9\text{Li}$ приведены в таблицах 2 и 3. Из них видно, что в α-t-2n-модели максимальный вклад дают три компонента, а в ${}^7\text{Li}$ -n-n-модели доминирует компонента с нулевыми квантовыми числами, однако и следующие две конфигурации мы будем учитывать, т.к. их введение позволило правильно воспроизвести квадрупольный момент ядра ${}^9\text{Li}$ ($Q_{\text{теор.}} = -27,93$ мб). Заметим, что в старой ${}^7\text{Li}$ -n-n-модели, которая использовалась в нашей предыдущей работе [9], и которая также приведена в табл.3, в ВФ доминировала одна компонента, которая давала квадрупольный момент $Q_{\text{теор.}} = -40$ мб, далекий от экспериментального $Q_{\text{экспер.}} = -27,4$ мб.

Таблица 2

Веса разных конфигураций волновой функции ${}^9\text{Li}$ в α-t-2n- модели

λ	l	L	S	P
2	1	2	1/2	0.555
1	2	2	1/2	0.201
3	2	2	1/2	0.200

Таблица 3

Веса разных конфигураций волновой функции ${}^9\text{Li}$ в ${}^7\text{Li}$ -n-n-модели

«Старая»				
0	0	0	3/2	0.984
1	1	1	1/2	0.001
2	2	0	3/2	0.015
«Новая»				
0	0	0	3/2	0.654
1	1	1	3/2	0.167

1	1	1	1/2	0.167
---	---	---	-----	-------

Вычислим дифференциальное сечение. Матричный элемент рассеяния в дифракционной теории записывается следующим образом:

$$M_{if}(\vec{q}_\perp) = \sum_{M_J M_J'} \frac{i\vec{k}}{2\pi} \int d\vec{\rho}_\perp d\vec{R}_A \exp(i\vec{q}_\perp \cdot \vec{\rho}_\perp) \delta(\vec{R}_A) \langle \Psi_i^{JM_J} | \Omega | \Psi_f^{JM_J'} \rangle, \quad (6)$$

где индексом « \perp » обозначены двумерные векторы, лежащие в плоскости, перпендикулярной направлению падающего пучка; $\Psi_i^{JM_J}, \Psi_f^{JM_J}$ – ВФ начального и конечного состояний ядра-мишени, в случае упругого рассеяния $\Psi_i^{JM_J} = \Psi_f^{JM_J}$; $R_A = \frac{1}{A} \sum_{n=1}^A r_n$ – ко-

ордината центра масс ядра; $\vec{\rho}$ – прицельный параметр, лежащий в плоскости, перпендикулярной налетающему пучку; \vec{k} – импульс налетающих частиц в с.ц.м.; $q = 2k \sin \frac{\theta}{2}$ –

переданный в реакции импульс; θ – угол рассеяния.

Оператор Ω в глауберовской теории записывается в виде ряда многократного рассеяния:

$$\Omega = 1 - \prod_{v=1}^A (1 - \omega_v (\vec{\rho}_\perp - \vec{\rho}_{\perp v})) = \sum_{v=1}^A \omega_v - \sum_{v < \mu} \omega_v \omega_\mu + \sum_{v < \mu < \eta} \omega_v \omega_\mu \omega_\eta + \dots (-1)^{A-1} \omega_1 \omega_2 \dots \omega_A, \quad (7)$$

где A – число нуклонов в мишени (или в пучке, в случае инверсной кинематики), ω_v – профильные функции, которые, в свою очередь, выражаются через амплитуду протон-нуклонного рассеяния $f_{pN}(q)$:

$$\omega_v(\vec{\rho}_\perp - \vec{\rho}_{\perp v}) = \frac{1}{2\pi i k} \int d\vec{q}_\perp \exp(-i\vec{q}_\perp \cdot (\vec{\rho}_\perp - \vec{\rho}_{\perp v})) f_{pN}(q). \quad (8)$$

Учитывая строение ядер ${}^8\text{Li}$ и ${}^9\text{Li}$, представленных в трехчастичных моделях, перепишем оператор (7) в альтернативном виде, полагая, что рассеяние происходит не на отдельных нуклонах ядер-мишеней, а на составляющих их кластерах:

$$\Omega = \Omega_1 + \Omega_2 + \Omega_3 - \Omega_1 \Omega_2 - \Omega_1 \Omega_3 - \Omega_2 \Omega_3 + \Omega_1 \Omega_2 \Omega_3, \quad (9)$$

где индексом 1 обозначена α -частица (в α -t-n- и α -t-2n- моделях) и n (в ${}^7\text{Li}$ -n-n-модели), индексом 2 – t (в α -t-n- и α -t-2n- моделях) и n (в ${}^7\text{Li}$ -n-n-модели), индексом 3 – n (в α -t-n- модели), 2n (в α -t-2n- модели) и ${}^7\text{Li}$ (в ${}^7\text{Li}$ -n-n-модели).

Техника вычисления матричного элемента (7), с ВФ (1-5) и оператором (9), с точным учетом всех членов, описывающих многократное рассеяние, подробно рассмотрена в наших предыдущих работах [12, 13]. Это достаточно сложная задача, и решить ее аналитически (до определенного момента) удается только благодаря записи ВФ и операторов в виде разложения по гауссоядам. Так как задача сопряжена с вычислением многократных интегралов, то при аналитическом интегрировании мы не теряем точности, что неизбежно при численном счете. Расчет окончательных выражений ввиду их громоздкости проводился на компьютере.

Дифференциальное сечение рассеяния, измеряемое в эксперименте, есть квадрат модуля матричного элемента:

$$\frac{d\sigma}{d\Omega} = \frac{1}{2J+1} |M_{if}(\vec{q}_\perp)|^2. \quad (10)$$

Экспериментальные данные p^9Li -рассеяния в инверсной кинематике измерены при двух энергиях: $E=703$ [2] и 60 МэВ/нуклон [3], p^8Li -рассеяния – при 698 МэВ/нуклон [2]. На рисунках, где проводится сравнение эксперимента и теории, эти данные представлены так: черные треугольники – при 60 МэВ/нуклон, светлые кружки – при 703 и 698 МэВ/нуклон.

На рис.1 приведены ДС, рассчитанные со «старой» (штриховая) и «новой» (сплошная) ВФ ядра 9Li в $^7Li-n-n$ -модели и с ВФ в $\alpha-t-2n$ -модели (точечная кривая) при $E=60$ (рис. 1, а), при $E=700$ МэВ/нуклон (рис. 1, б). «Старая» и «новая» ВФ отличаются количеством учитываемых компонент. Из табл.3 видно, что в «старой» ВФ доминирует компонента с нулевыми квантовыми числами и весом 0,984, в «новой» ВФ имеются три компонента со сравнимыми весами и все они учтены в нашем расчете. Напомним, что введение компонент с ненулевыми квантовыми числами позволило правильно описать квадрупольный момент ядра 9Li . При малых углах рассеяния все три кривые примерно одинаково описывают сечение, различие начинает проявляться в области средних углов рассеяния. Сравнение сплошной и штриховой кривых показывает, что ДС хотя и чувствительно к ВФ, рассчитанным в одной модели с разными потенциалами межклластерных взаимодействий, что особенно заметно в области средних углов рассеяния $\theta > 40^\circ$, но по абсолютной величине сечения близки друг к другу. Точечная кривая гораздо сильнее отличается от сплошной и штриховой (начиная с $\theta > 35^\circ$ для $E=60$ МэВ/нуклон и с $\theta > 12^\circ$ для $E=700$ МэВ/нуклон) и по абсолютной величине, и более глубоким минимумом. То, что отличие проявляется при средних и больших углах рассеяния, т.е при достаточно больших переданных импульсах, говорит об особенно резком различии двух моделей ($^7Li-n-n$ и $\alpha-t-2n$) во внутренней области, там, где перекрывание ВФ различных кластеров велико. Почему при этих (больших) импульсах быстрее убывает сечение, рассчитанное с $\alpha-t-2n$ -функцией? Возможно потому, что подавлена высокомпульсная компонента $2n$ -ВФ. Из сравнения с экспериментальными данными видно, что лучшее описание эксперимента достигнуто с ВФ в $^7Li-n-n$ -модели.

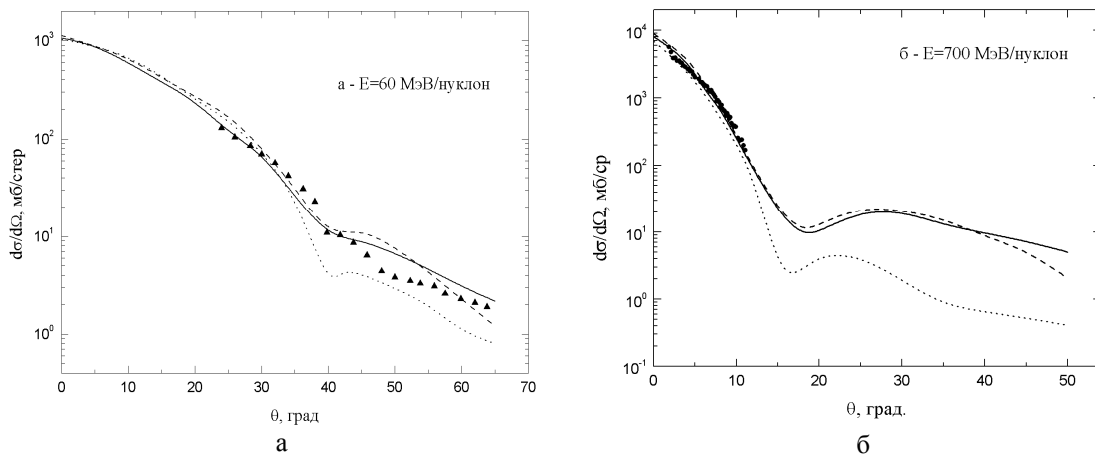


Рисунок 1 – Зависимость дифференциального сечения p^9Li -рассеяния от разных модельных ВФ

^9Li . Сплошная и штриховая кривые – расчет со «старой» и «новой» ВФ ядра ^9Li в ^7Li -n-n-модели, точечная кривая – расчет ВФ в α -t-2n-модели: а) $E = 60$ МэВ/нуклон, экспериментальные данные из [3], б) $E = 700$ МэВ/нуклон, экспериментальные данные из [2]

При $E=60$ (рис. 2,а), при $E=700$ МэВ/нуклон (рис. 2,б) представлен расчет ДС на ядре ^8Li с двумя ВФ в α -t-n-модели. Из рисунка видно, что обе кривые (сплошная – модель 1, штриховая – модель 2) абсолютно одинаково описывают сечение (так же как и статические характеристики, рассчитанные с этими ВФ в [11]), что указывает на близость самих ВФ, полученных в одной модели, но с разными потенциалами межклusterных взаимодействий, о которых говорилось выше. Сравнение с экспериментом [2] проведено только для $E=700$ МэВ/нуклон, и расчет с обеими ВФ прекрасно с ним согласуется. Аналогичная картина наблюдалась на рис.1: ДС с ВФ в модели ^7Li -n-n, но с разными потенциалами межклusterных взаимодействий, близки друг к другу, тогда как ДС с ВФ в α -t-2n-модели достаточно сильно отличается от первых двух. Очевидно, это означает, что правильно выбранная структура для описания как статических, так и динамических характеристик важнее, чем тот или иной вид межклusterных потенциалов. Что касается самой структуры, то в чем основное отличие двух моделей ^7Li -n-n и α -t-2n? В том, что в первой модели имеют место два некоррелированных нейтрона, а во второй – коррелированных. Если первая модель лучше описывает характеристики самого ядра и рассеяния, то вероятность присутствия в ядре некоррелированной пары выше, чем коррелированной. Это не противоречит работе [13], в которой изучается механизм независимой передачи нейтронов в упругом α -He-рассеянии, и показано, что ДС обмена динейтроном (для передних углов рассеяния $\theta < 40^\circ$) на порядок меньше сечения двухступенчатого процесса (на двух некоррелированных нейтронах).

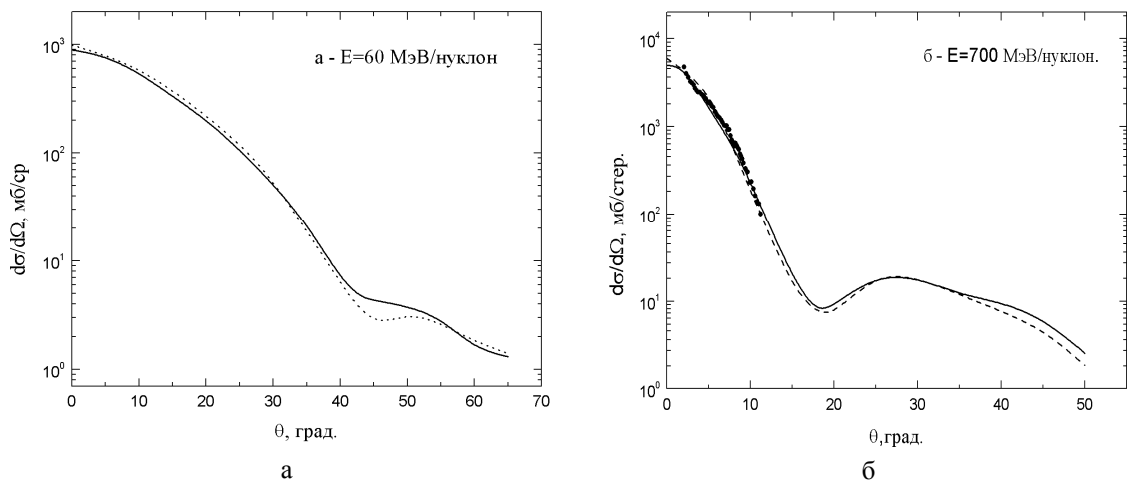


Рисунок 2 – Зависимость дифференциального сечения $p-^8\text{Li}$ – рассеяния от разных модельных ВФ ^8Li . Сплошная и штриховая кривые – расчет с ВФ в модели 1 и 2:
 а) $E = 60$ МэВ/нуклон, б) $E = 700$ МэВ/нуклон, экспериментальные данные из [2].

В заключение сравним ДС на ядрах ^8Li и ^9Li , представленные на рис.3. Для ^9Li сплошная кривая – расчет с ВФ в ^7Li -n-n-модели. Для ^8Li штриховая – расчет с ВФ в α -t-n-модели. Сечения подобны при малых углах рассеяния (хотя абсолютное значение

сечения на ядре ^8Li несколько меньше, чем на ядре ^9Li), отличия начинают проявляться при больших углах рассеяния $\theta > 40^\circ$, там, где существенна внутренняя область ядра.

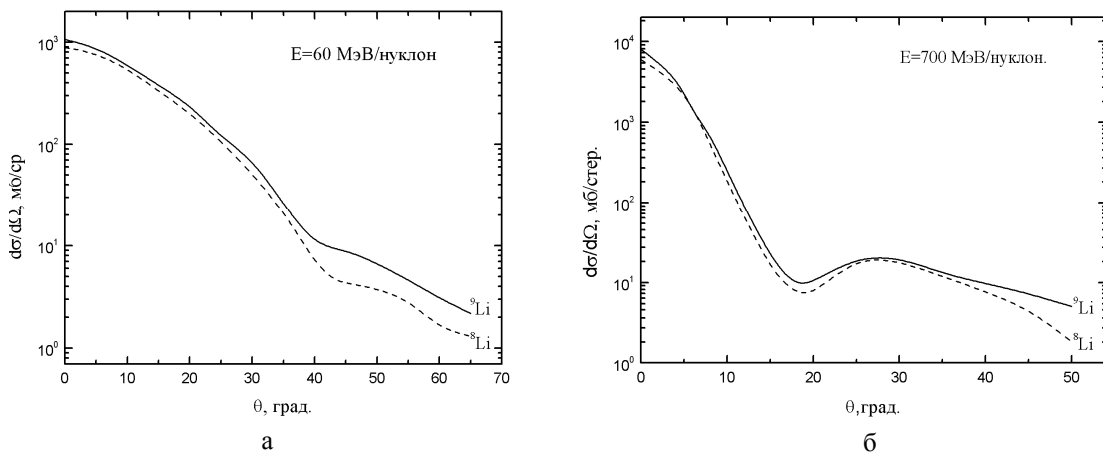


Рисунок 3 – Дифференциальное сечение $p^9\text{Li}$ (сплошная кривая) и $p^8\text{Li}$ (штриховая):

- а) $E = 60 \text{ МэВ/нуклон}$,
б) $E = 700 \text{ МэВ/нуклон}$

В заключение можно сделать следующие выводы.

В рамках дифракционной теории многократного рассеяния Глаубера изучено упругое рассеяние протонов в инверсной кинематике на ядрах ^8Li , ^9Li , структура которых представлена в трехчастичных α -t-n-, α -t-2n-, ^7Li -n-n-моделях. Разложение ВФ по гауссовскому базису и запись оператора многократного рассеяния в виде альтернативного ряда рассеяния и перерассеяния на кластерах, входящих в состав ядер, позволило рассчитать амплитуду рассеяния аналитически, без потери точности, неизбежной при численном расчете многомерных интегралов.

Показано, что ДС мало чувствительно к ВФ, представленным в одних и тех же моделях, но с разными потенциалами межкластерных взаимодействий, например для ^8Li с ВФ в α -t-n-модели. Разница же в расчетах ДС с ВФ, сконструированными в разных моделях, существенно больше. Так, для ядра ^9Li ВФ в α -t-2n-модели хуже, чем в ^7Li -n-n-модели, описывает ДС при всех энергиях, что является следствием неадекватного кластерного разбиения. Слишком быстрое по сравнению с экспериментальным убывание ДС с ВФ в α -t-2n-модели при больших переданных импульсах свидетельствует о дефиците высокоимпульсных компонент в ВФ динейтрана.

Список литературы

1. Tanihata I. et al. // Phys.Lett. B. - 1985. - V. 160. - P. 380; Phys. Rev. Lett. - 1985. - V. 55. - P.2676.
2. Dobrovolsky A.V. et al. // Nucl. Phys. A. - 2006. - V. 766. - P.1.
3. Moon C.B. et al. // Phys. Lett. B. - 1992. - V. 297. - P. 39.
4. Evald G. et al. // Phys. Rev. Lett. - 2005. - V. 94. 039901.
5. Susuki Y. et al. // Progr. Theor. Phys. Suppl. - 2002. - V.146. - P.413.
6. Pieper S.C. et al. // Phys. Rev. C. - 2002. - V. 66. 044310.
7. Egelhof P. et al. // Eur. Phys. J. A. - 2002. - V. 15. - P. 27.
8. Жусупов М.А. и др. // Изв. РАН. Сер. Физ. - 2003. - Т.67. - N11. - С.1532.
9. Жусупов М.А. и др. // Изв. РАН. Сер. Физ. - 2007. - Т. 71. - С.804.
10. Дубовиченко С.Б. Свойства легких атомных ядер в потенциальной кластерной модели. - Алматы: Данекер, 2004.
11. Жусупов М.А., Сагиндыков Ш.Ш., Сахиев С.Б. // Изв.РАН. Сер.Физ. - 2001. - Т. 65. - №5. - С.714; Изв. РАН. Сер.Физ. - 2006. - Т. 70. - №2. - С.240.
12. Жусупов М.А., Ибраева Е.Т. // эчая. - 2000. - Т. 31. - С. 1427.

13. Галанина Л.И., Зеленская Н.С. // ЯФ. - 2007. - Т.70. - №2. - С. 308.
14. Алхазов Г.Д., Лободенко А.А. // ЯФ. - 2007. - Т.70. - №1. - С.98.

Получено 12.09.07